

01;04;10

Многопотоковая неустойчивость в обобщенной модели Доусона

© А.Е. Дубинов, Б.Г. Репин

Российский федеральный ядерный центр —
 Всероссийский научно-исследовательский институт экспериментальной физики,
 607190 Саров, Нижегородская область, Россия
 e-mail: dubinov@rol.ru

(Поступило в Редакцию 21 апреля 2005 г.)

Построены обобщения модели многих пучков Доусона, которые позволяют достаточно просто анализировать устойчивость системы пучков неравной плотности в плазме. Эти модели могут служить также основной для рассмотрения устойчивости электронной компоненты плазмы с заданным законом ее распределения по скоростям.

PACS: 52.30.Ex

В качестве простейшей модели плазмы, которая содержит электроны с широким разбросом по скоростям, Дж. Доусон предложил в [1] систему, представляющую собой совокупность многих параллельных электронных пучков, распространяющихся в неподвижном ионном фоне. Все пучки имеют одинаковую плотность, но их скорости образуют дискретный набор из последовательности $\{j\Delta v\}_{-\infty}^{+\infty}$, где $j = 0, \pm 1, \pm 2, \pm 3, \dots$ и Δv — расстояние между соседними пучками по оси скоростей. Начальное распределение по скоростям системы пучков представлено на рис. 1, *a* (здесь и далее $\Delta v = 1$).

В своем анализе этой системы Дж. Доусон исходил из следующего дисперсионного соотношения:

$$1 = \sum_{j=-\infty}^{+\infty} \frac{\omega_p^2}{(\omega - jk\Delta v)^2}, \quad (1)$$

где ω и k — частота волны и ее волновое число, ω_p — плазменная частота каждого из пучков. Оказалось, что выбор такого начального распределения пучков по скоростям очень удобен для анализа, так как ряд в (1) суммируется, приводя дисперсионное соотношение к следующему виду:

$$1 = \sum_{j=-\infty}^{+\infty} \frac{\omega_p^2}{(\omega - jk\Delta v)^2} = \left(\frac{\pi\omega_p}{k\Delta v}\right) \left(1 + \operatorname{ctg}^2 \frac{\pi\omega}{k\Delta v}\right). \quad (2)$$

Как было продемонстрировано в [2,4], уравнения типа (1) и (2) удобно также представить в виде, разрешенном относительно k^2 и выраженным не через частоту ω , а через фазовую скорость волны $v_{ph} = \omega/k$:

$$\begin{aligned} k^2 &= \sum_{j=-\infty}^{+\infty} \frac{\omega_p^2}{(v_{ph} - j\Delta v)^2} \\ &= \left(\frac{\pi\omega_p}{\Delta v}\right) \left(1 + \operatorname{ctg}^2 \frac{\pi v_{ph}}{\Delta v}\right) = F(v_{ph}). \end{aligned} \quad (3)$$

График функции $F(v_{ph})$ для (3) при $\omega_{p0} = 1$ показан на рис. 1, *b*. Для коротковолновых возмущений при $k > \pi\omega_p/\Delta v$ горизонталь $k^2 = \operatorname{const}$ многократно

пересекает ветви графика, и корни уравнения (3) действительны. Но для длинноволновых возмущений при $k < \pi\omega_p/\Delta v$ горизонталь $k^2 = \operatorname{const}$ не пересекает графика ни в одной точке, а корни (3) при этом являются комплексными, что свидетельствует о развитии неустойчивости.

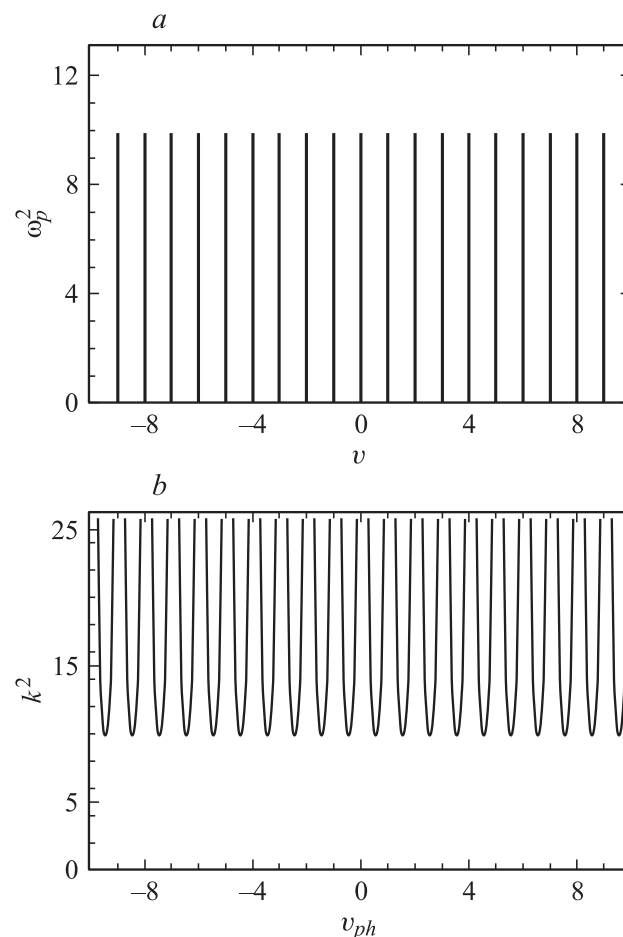


Рис. 1. Графики начального распределения пучков по скоростям (*a*) и функции $k^2 = F(v_{ph})$ (*b*) для модели Доусона многих пучков одинаковой плотности.

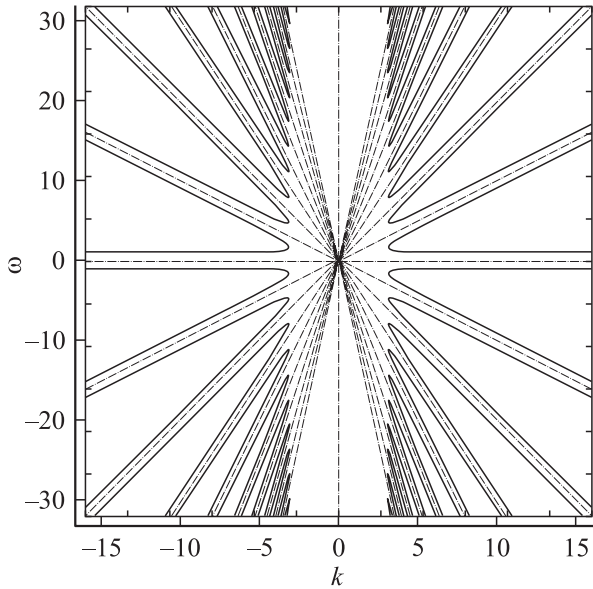


Рис. 2. Дисперсионная кривая $\omega(k)$ для модели Доусона многих пучков одинаковой плотности.

Уравнение (2) можно также решить относительно частоты ω

$$\omega = jk\Delta v = \frac{k\Delta v}{\pi} \operatorname{arctg} \frac{1}{(\sqrt{k\Delta v/\pi\omega_p})^2 - 1} \quad (4)$$

и построить дисперсионную кривую (рис. 2). Видно, что она имеет множество ветвей, соответствующих рис. 1, *b* и прижимающихся к полосе $|k| < \pi\omega_p/\Delta v$, которая свободна от ветвей и соответствует неустойчивости.

Можно также построить график зависимости инкремента от волнового числа возмущения $\operatorname{Im}\omega(k)$, решив уравнение (3) для $k < \pi\omega_p/\Delta v$. Это уравнение имеет бесконечный набор совпадающих пар комплексно-сопряженных корней. График $\operatorname{Im}\omega(k)$ представлен на рис. 3, факт бесконечно кратного совпадения ветвей условно обозначен жирной линией. Итак, модель [1] позволяет достаточно просто определить основные характеристики линейного поведения системы.

Однако модель Доусона не лишена некоторых недостатков. Главная из них — расходимость общего числа электронов как суммы бесконечного числа одинаковых слагаемых и, следовательно, необходимость бесконечной ионной концентрации для обеспечения квазинейтральности

$$\sum_{j=-\infty}^{+\infty} \omega_p^2 = \infty. \quad (5)$$

Другой недостаток — достаточно искусственная начальная функция распределения, далекая от реальности: в условиях физических экспериментов функция распределения $f(v) \rightarrow 0$ при $v \rightarrow \pm\infty$, в то время как в модели Доусона это не выполняется.

С целью устранения указанных недостатков в данной работе была построена обобщенная модель Доусона на

случай пучков неравной плотности. Мы рассмотрим начальные распределения пучков по скоростям такие, что их суммарная плотность конечна и, следовательно, $f(v) \rightarrow 0$ при $v \rightarrow \pm\infty$.

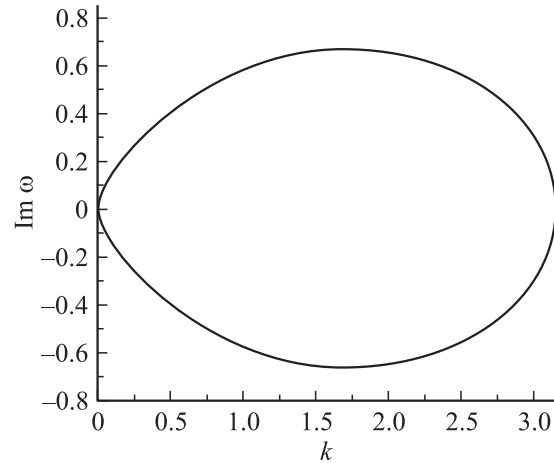


Рис. 3. Зависимость инкремента от волнового числа $\operatorname{Im}\omega(k)$ для модели Доусона многих пучков одинаковой плотности.

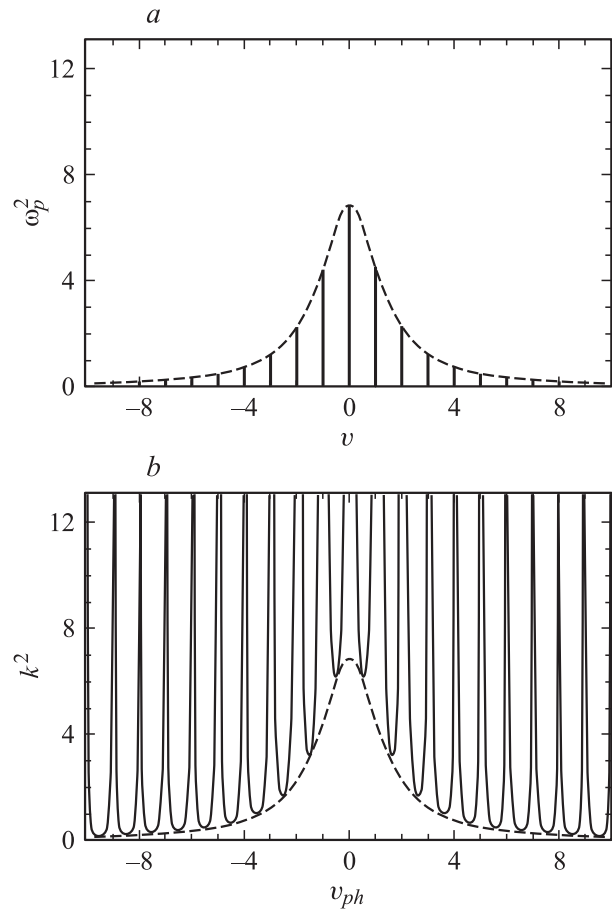


Рис. 4. Графики начального одногорбого распределения пучков по скоростям (а) и функции $k^2 = F(v_{ph})$ (б) для обобщенной модели многих пучков неравной плотности.

Пусть начальное распределение имеет вид рис. 4, *a*, где огибающая плотности пучков представляет собой функцию

$$f(v) = \frac{\omega_{p0}^2}{1 + \alpha^2 v^2}, \quad (6)$$

где α — постоянная, которая имеет размерность, обратную скорости, и характеризует ширину горба начальной функции распределения пучков по скоростям: чем больше α , тем более узок горб функции распределения.

Легко видеть, что сумма, соответствующая суммарной плотности пучков и плотности фона, конечна

$$\sum_{j=-\infty}^{+\infty} \frac{\omega_{p0}^2}{1 + (j\alpha\Delta v)^2} = \frac{\pi\omega_{p0}^2}{\alpha\Delta v} \operatorname{cth} \frac{\pi}{\alpha\Delta v}. \quad (7)$$

Оказывается, что для такого распределения дисперсионное уравнение (опять же в виде $k^2 = F(v_{ph})$) также суммируется

$$k^2 = \sum_{j=-\infty}^{+\infty} \frac{\omega_{p0}^2}{(v_{ph} - j\Delta v)^2 (1 + (j\alpha\Delta v)^2)}$$

$$\pi\omega_{p0}^2 \left\{ \alpha\Delta v (\alpha^2 v_{ph}^2 - 1) \sin^2 \frac{\pi v_{ph}}{\Delta v} \operatorname{coth} \frac{\pi}{\alpha\Delta v} + \right.$$

$$\left. + \pi (\alpha^2 v_{ph}^2 + 1) + \alpha^2 v_{ph} \Delta v \sin \frac{2\pi v_{ph}}{\Delta v} \right\}$$

$$= \frac{\Delta v^2 (\alpha^2 v_{ph}^2 + 1)^2 \sin^2 \frac{\pi v_{ph}}{\Delta v}}{\Delta v^2 (\alpha^2 v_{ph}^2 + 1)^2 \sin^2 \frac{\pi v_{ph}}{\Delta v}}. \quad (8)$$

График этой громоздкой функции при $\omega_{p0} = 1$ и $\alpha = 1$ приведен на рис. 4, *b*. Характер его пересечения с горизонталью $k^2 = \text{const}$ теперь иной, нежели у графика на рис. 1, *b*, при любом k горизонталь пересекает боковые ветви графика. Это означает, что при любой длине волны имеются устойчивые моды, и лишь конечное число

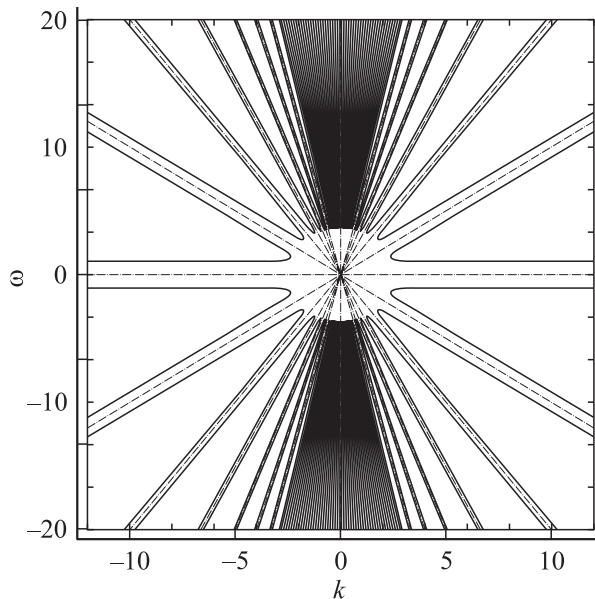


Рис. 5. Дисперсионная кривая $\omega(k)$ для одногорбого распределения в обобщенной модели многих пучков неравной плотности.

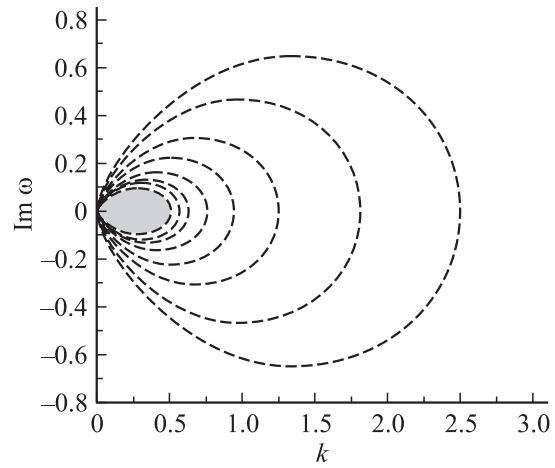


Рис. 6. Зависимость инкремента от волнового числа $\operatorname{Im} \omega(k)$ для одногорбого распределения в обобщенной модели многих пучков неравной плотности.

мод, ветви которых находятся вблизи горба функции распределения, при $k < \pi\omega_{p0}/\Delta v$ неустойчивы.

На рис. 5 представлена дисперсионная кривая $\omega(k)$ модели (7). Видно, что и она имеет множество ветвей, соответствующих рис. 4, *b*. Ветви сгущаются при приближении к вертикальной оси, область сгущения ветвей отмечена на рис. 5 серым цветом. К началу координат примыкает область, свободная от ветвей, которая соответствует неустойчивым модам (область под горбом на рис. 4, *b*).

Так как кривая на рис. 4, *b* симметрична относительно вертикальной оси в силу четности функции $k^2 = F(v_{ph})$ (8), то корни уравнения $k^2 = F(v_{ph}) = \text{const}$ становятся двукратно вырожденными: при $v_{ph} > 0$ и $v_{ph} < 0$. Поэтому если кривая инкремента в модели Доусона имеет бесконечное число совпадающих ветвей (бесконечно кратное вырождение), то кривая инкремента в обобщенной модели имеет бесконечное число двойных ветвей (двукратное вырождение), сгущающихся к началу координат. Двукратное вырождение на рис. 6 условно обозначено пунктирными линиями (в отличие от рис. 3), а область сгущения инкрементов неустойчивых мод — серым цветом.

Рассмотренное обобщение модели многих пучков не единственно. Аддитивный характер дисперсионного уравнения позволяет конструировать более сложные начальные распределения пучков по скоростям, которые можно проанализировать по аналогичной методике. Кратко рассмотрим в качестве примера начальное распределение в виде двух горбов (рис. 7, *a*), являющееся моделью двух встречных теплых электронных пучков в плазме со средними скоростями $\pm v_0$. Переходом в другую систему отсчета, движущуюся относительно исходной с определенной скоростью, можно свести задачу к модели классической неустойчивости теплого электронного пучка в теплой плазме.

Тогда дисперсионное уравнение системы можно записать в виде

$$k^2 = \sum_{j=-\infty}^{+\infty} \frac{\omega_{p0}^2}{(v_{ph} - j\Delta v)^2 [1 + (j\alpha\Delta v - v_0)^2]} + \sum_{j=-\infty}^{+\infty} \frac{\omega_{p0}^2}{(v_{ph} - j\Delta v)^2 [1 + (j\alpha\Delta v + v_0)^2]}. \quad (9)$$

Оба ряда в правой части (9) суммируются, их суммы выражаются в виде, аналогичном (8), но в силу громоздкости выписывать их не будем. График (9) при $\omega_{p0} = 1$, $\alpha = 1$ и $v_0 = 4$ показан на рис. 7, *b*.

На рис. 8 приведен график дисперсионной кривой $\omega(k)$. Во многом он сходен с графиками рис. 2 и 5, но область неустойчивости на нем имеет особую форму, связанную с двугорбой функцией распределения пучков по скоростям.

На рис. 9 представлена зависимость инкремента от волнового числа $\text{Im } \omega(k)$. Особенностью данного графика является то, что различные ветви имеют различные степени вырождения: двукратные (пунктир) и четырехкратные (сплошная линия). Области сгущения ветвей на рис. 8 и 9 закрашены серым цветом.

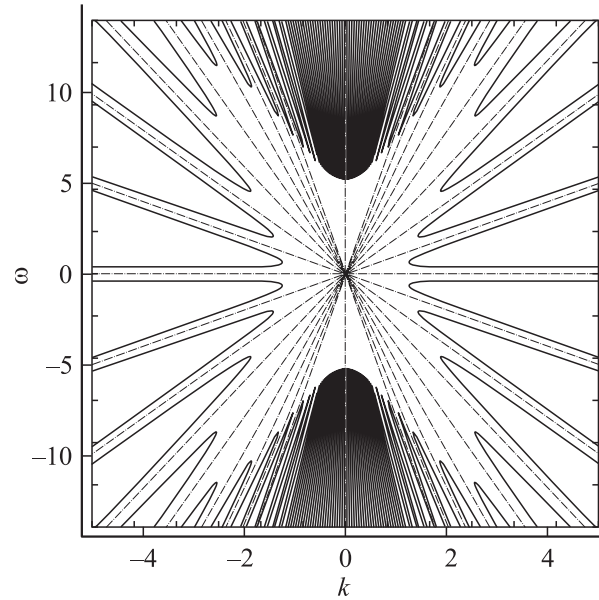


Рис. 8. Дисперсионная кривая $\omega(k)$ для двугорбого распределения в обобщенной модели многих пучков неравной плотности.

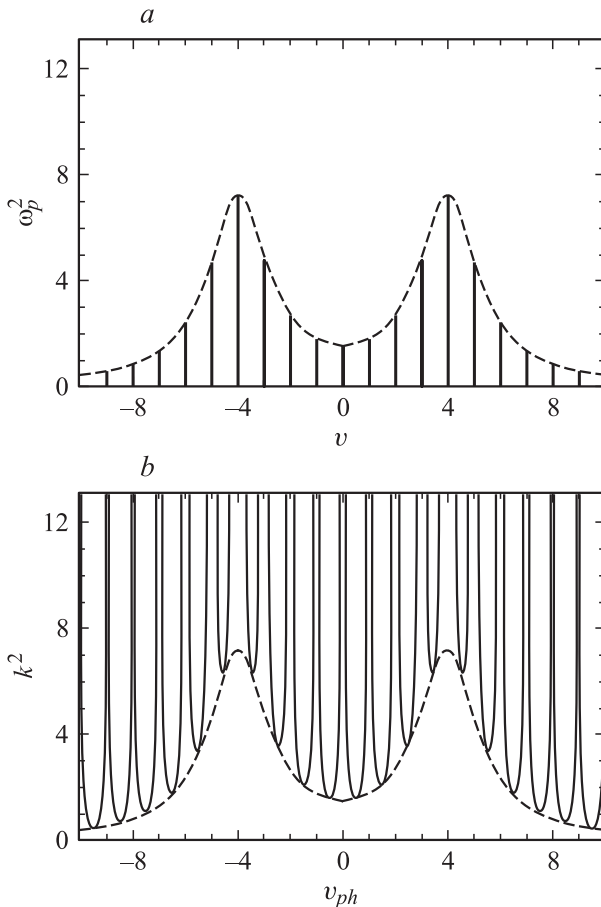


Рис. 7. Графики начального двугорбого распределения пучков по скоростям (*a*) и функции $k^2 = F(v_{ph})$ (*b*) для обобщенной модели многих пучков неравной плотности.

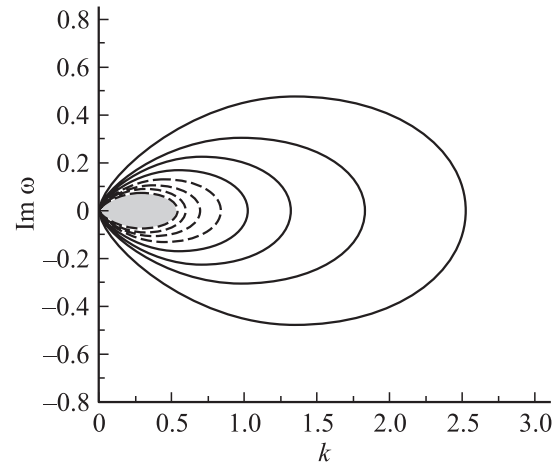


Рис. 9. Зависимость инкремента от волнового числа $\text{Im } \omega(k)$ для двугорбого распределения в обобщенной модели многих пучков неравной плотности.

Таким образом, построенные обобщения модели многих пучков Доусона позволяют достаточно просто анализировать на устойчивость систему пучков неравной плотности в плазме, что важно для экспериментов [5] и теории [6]. Эти же модели могут служить основой для рассмотрения устойчивости электронной компоненты плазмы с заданным законом ее распределения по скоростям.

Авторы благодарны проф. А.А. Рухадзе за консультацию.

Список литературы

- [1] *Dawson J.M.* // Phys. Rev. 1960. Vol. 118. N 2. P. 381–389.
- [2] *Стикс Т.* Теория плазменных волн. М.: Атомиздат, 1965. 344 с.
- [3] *Смирнов В.М.* // Физика плазмы. 1969. Вып. 2. С. 79–86.
- [4] *Дубинов А.Е.* // ЖТФ. 2001. Т. 71. Вып. 5. С. 15–19.
- [5] *Федорченко В.Д., Мазалов Ю.П., Бакай А.С., Руткевич Б.Н.* // ЖЭТФ. 1973. Т. 65. № 6 (12). С. 2225–2235.
- [6] *Бриггс Р.* Достижения физики плазмы / Пер. с англ. под ред. М.С. Рабиновича. М.: Мир, 1974. С. 132–170.